

РУКОВОДЯЩИЙ ТЕХНИЧЕСКИЙ МАТЕРИАЛ

**КОТЛЫ СТАЦИОНАРНЫЕ
ПАРОВЫЕ И ВОДОГРЕЙНЫЕ
И ТРУБОПРОВОДЫ ПАРА И ГОРЯЧЕЙ ВОДЫ**

**МЕТОД ОЦЕНКИ ДОЛГОВЕЧНОСТИ
ПРИ МАЛОЦИКЛОВОЙ УСТАЛОСТИ И ПОЛЗУЧЕСТИ**

РТМ 108.031.105—77

Издание официальное

РАЗРАБОТАН Научно-производственным объединением по исследованию и проектированию энергетического оборудования им. И. И. Ползунова (НПО ЦКТИ)

Генеральный директор
Заведующий базовым отраслевым
отделом стандартизации
Заведующий отделом прочности
Руководители темы:
Исполнитель

Н. М. МАРКОВ
В. Л. МАРКОВ
В. С. ПОСТОЕВ
Б. В. ЗВЕРЬКОВ,
И. А. ДАНИОШЕВСКИЙ
Т. И. ТАТУЕВА

Научно-производственным объединением по технологии энергетического машиностроения (ЦНИИТМАШ)

Генеральный директор
Заведующий отделом
Руководители темы:

Н. Н. ЗОРЕВ
Л. П. ТРУСОВ
Г. А. ТУЛЯКОВ,
В. В. ГРИНЕВСКИЙ,
Б. М. СОКОЛЯНСКИЙ

Производственным объединением «Красный котельщик»

Генеральный директор
Главный конструктор
Руководитель темы

А. А. ПАРШИН
Л. М. ХРИСТИЧ
В. Б. НАДЛЕР

ВНЕСЕН Научно-производственным объединением по исследованию и проектированию энергетического оборудования им. И. И. Ползунова (НПО ЦКТИ)

Генеральный директор

Н. М. МАРКОВ

ПОДГОТОВЛЕН К УТВЕРЖДЕНИЮ Техническим управлением
Министерства энергетического машиностроения

Начальник Технического управления
Начальник отдела опытно-конструкторских
и научно-исследовательских работ
по котлостроению

В. П. ПЛАСТОВ
В. В. ЛЕБЕДЕВ

СОГЛАСОВАНО с Государственным комитетом по надзору за безопасным ведением работ в промышленности и горному надзору при Совете Министров СССР (Госгортехнадзор СССР)

Заместитель начальника управления по котлонадзору
и подъемным сооружениям
Госгортехнадзора СССР

А. И. МУРАЧЕВ

УТВЕРЖДЕН И ВВЕДЕН В ДЕЙСТВИЕ Указанием Министерства энергетического машиностроения от 03.11.77 № ВВ-002/8339

Заместитель министра

В. М. ВЕЛИЧКО

**КОТЛЫ СТАЦИОНАРНЫЕ
ПАРОВЫЕ И ВОДОГРЕЙНЫЕ
И ТРУБОПРОВОДЫ ПАРА
И ГОРЯЧЕЙ ВОДЫ**

**МЕТОД ОЦЕНКИ ДОЛГОВЕЧНОСТИ
ПРИ МАЛОЦИКЛОВОЙ УСТАЛОСТИ
И ПОЛЗУЧЕСТИ**

РТМ 108.031.105-77

Введен впервые

Указанием Министерства энергетического машиностроения от 03.11.77 № ВВ-002/8339 введен как рекомендуемый.

Настоящий руководящий технический материал (РТМ) распространяется на стационарные паровые и водогрейные котлы и трубопроводы пара и горячей воды и устанавливает методику оценки долговечности при малоцикловой усталости и ползучести деталей котлов и трубопроводов в соответствии с требованиями ОСТ 108.031.02—75.

1. УСЛОВНЫЕ ОБОЗНАЧЕНИЯ

σ_a — расчетная амплитуда напряжений, кгс/мм²;

[σ_a] — допускаемая амплитуда напряжений, определенная по графикам долговечности, кгс/мм²;

[σ_a^*] — допускаемая амплитуда напряжений, кгс/мм²;

σ_i — главные условно-упругие напряжения в расчетной точке детали ($i=1, 2, 3$), кгс/мм²;

σ_{eqj} — эквивалентные напряжения ($i, j=1, 2, 3$), кгс/мм²;

$\Delta\sigma_{eqj}$ — размах эквивалентных напряжений, кгс/мм²;

[σ]_{max}, [σ]_{min} — допускаемые напряжения по ОСТ 108.031.02—75, соответствующие температуре, при которой достигаются максимальные и минимальные эквивалентные напряжения, кгс/мм²;

E_{max} , E_{min} — модуль упругости, соответствующий температуре, при которой достигаются максимальные и минимальные эквивалентные напряжения, кгс/см²;

E^t — модуль упругости, соответствующий максимальной температуре цикла, кгс/мм²;
 N — число циклов нагружения;
 N_t — число циклов нагружения данного типа;
[N] — допускаемое число циклов по расчетным кривым малоцикловой усталости;
[N^*] — допускаемое число циклов;
 σ_c — расчетное напряжение с учетом ползучести, кгс/мм²;
 $\sigma_{d.p.10^4}^t, \sigma_{d.p.10^5}^t$, — условный предел длительной прочности при растяжении (напряжение, вызывающее разрушение при расчетной температуре соответственно через 10^4 , 10^5 и $2 \cdot 10^5$ ч), кгс/мм²;
[σ] — номинальное допускаемое напряжение при расчете детали только на действие давления, кгс/мм²;
 D — параметр, характеризующий допускаемое повреждение от ползучести и усталости;
 Π_o, Π_N — коэффициенты, учитывающие влияние ползучести на допускаемую амплитуду напряжений и допускаемое число циклов;
 m — показатель степени в уравнении длительной прочности стали;
 n — количество различных типов циклов;
 l — количество различных номинальных режимов;
 τ_i — длительность работы элемента при данных номинальных параметрах нагружения, включая время пуска и останова, ч;
 t — суммарное расчетное время работы элемента, ч;
 σ_g^B — эквивалентное напряжение от весовых нагрузок и внутреннего давления по ОСТ 108.031.02—75, кгс/мм²;
 $\sigma_g^{B, ск}$ — эквивалентное напряжение от весовых нагрузок, самокомпенсации и внутреннего давления по ОСТ 108.031.02—75, кгс/см².

2. ОСНОВНЫЕ ПОЛОЖЕНИЯ

2.1. Расчет на малоцикловую усталость является поверочным и выполняется после выбора основных размеров детали в соответствии с ОСТ 108.031.02—75.

2.2. Поверочный расчет производят с учетом всех нагрузок (основных и дополнительных) для всех расчетных режимов работы.

2.3. Характеристики используемых материалов (допущенных к применению Госгортехнадзором СССР) и качество изготовления должны удовлетворять требованиям соответствующих технических условий.

2.4. Методика применима для расчета вновь проектируемых деталей, работающих при малоциклической усталости, во всем диапазоне изменения рабочих температур. Уровень температур, обуславливающий необходимость учета ползучести, устанавливается в соответствии с ОСТ 108.031.02—75.

3. ПЕРЕМЕННЫЕ НАГРУЗКИ

3.1. За цикл нагружения принимается повторяющееся изменение нагрузки от первоначальной до максимальной (минимальной) и возврат к первоначальной нагрузке.

Тип цикла характеризуется расчетной амплитудой напряжения σ_a , числом нагружений и максимальной температурой.

3.2. При расчете на усталость учитываются следующие нагрузки:

изменение давления при пуске — останове котла;

колебания рабочего давления при эксплуатации (кроме пуска — останова);

дополнительные внешние нагрузки и их изменение при эксплуатации (весовые нагрузки, наддув и т. п.);

температурные перепады при пуске — останове котла, включая компенсационные нагрузки при тепловых расширениях трубопроводов;

дополнительные перепады температуры, вызываемые колебаниями температуры среды или теплового потока при эксплуатации.

4. ПЕРЕМЕННЫЕ НАПРЯЖЕНИЯ

4.1. Расчет на усталость основывается на условно-упругих напряжениях, действующих в расчетной точке детали. Расчет производится для всех основных этапов эксплуатации: пуска, рабочего режима, останова и т. д. в точках, где ожидается наибольший размах напряжений.

4.2. Для каждой расчетной точки определяют три главных нормальных условно-упругих напряжений (с учетом местных концентраторов напряжений), представляющих собой алгебраическую сумму действующих в одном направлении напряжений от всех приложенных нагрузок, σ_1 , σ_2 , σ_3 . Составляющие главных нормальных напряжений определяются теоретическим или экспериментальным путем.

В случае отсутствия точного значения местных напряжений допускается принимать коэффициент концентрации окружных напряжений от действия внутреннего давления на кромках отверстий в цилиндрических элементах равным 3,0, в сферических и выпуклых днищах 2,2, а коэффициент концентрации окружных и осевых напряжений от действия температурных градиентов для цилиндрических и сферических деталей равным 2,0. Для гибов коэффициент концентрации окружных напряжений от внутреннего давления

в зонах нейтральной (внутренняя поверхность трубы) и внешней образующих (наружная поверхность трубы) допускается принимать равным 3,5 при $s/D_h > 0,12$; 4,0 при $0,08 < s/D_h \leq 0,12$; 4,7 при $0,05 \leq s/D_h \leq 0,08$.

Для цилиндрических деталей

$$\sigma_1 = \sigma_\varphi; \quad \sigma_2 = \sigma_z; \quad \sigma_3 = \sigma_r;$$

при наличии крутящего момента

$$\sigma_1 = 0,5 [\sigma_\varphi + \sigma_z + \sqrt{(\sigma_\varphi - \sigma_z)^2 + 4\tau^2}];$$

$$\sigma_2 = 0,5 [\sigma_\varphi + \sigma_z - \sqrt{(\sigma_\varphi - \sigma_z)^2 + 4\tau^2}];$$

$$\sigma_3 = \sigma_r.$$

4.3. По значениям главных условно-упругих напряжений определяют эквивалентные напряжения для расчетных точек детали в заданные моменты времени как алгебраическую разность главных нормальных напряжений:

$$\sigma_{912} = \sigma_1 - \sigma_2;$$

$$\sigma_{923} = \sigma_2 - \sigma_3;$$

$$\sigma_{913} = \sigma_1 - \sigma_3.$$

5. РАЗМАХ И АМПЛИТУДА ПЕРЕМЕННЫХ НАПРЯЖЕНИЙ

5.1. Для каждого цикла нагружения существуют режимы, при которых принимают максимальные и минимальные значения величины:

$$\frac{\sigma_{9ij\max}}{E_{\max}}; \quad \frac{\sigma_{9ij\min}}{E_{\min}}.$$

В расчет вводится размах условно-упругих эквивалентных напряжений $\Delta\sigma_{9ij}$, равный наибольшему значению алгебраической разности:

$$\Delta\sigma_{912} = E' \left(\frac{\sigma_{912\max}}{E_{\max}} - \frac{\sigma_{912\min}}{E_{\min}} \right);$$

$$\Delta\sigma_{923} = E' \left(\frac{\sigma_{923\max}}{E_{\max}} - \frac{\sigma_{923\min}}{E_{\min}} \right);$$

$$\Delta\sigma_{913} = E' \left(\frac{\sigma_{913\max}}{E_{\max}} - \frac{\sigma_{913\min}}{E_{\min}} \right).$$

5.2. Расчетная амплитуда напряжений определяется по следующим формулам (берется наибольшая из величин):

$$\sigma_a = \frac{\Delta\sigma_{9ij}}{2};$$

$$\sigma_a = \frac{\Delta\sigma_{9ij}}{2} \frac{\Delta\sigma_{9ij}}{1,5 ([\sigma]_{\max} + [\sigma]_{\min})}.$$

5.3. Если деталь подвергается действию циклов разного типа, то величина расчетной амплитуды σ_a определяется отдельно для каждого типа цикла.

6. ДОПУСКАЕМАЯ АМПЛИТУДА ПЕРЕМЕННЫХ НАПРЯЖЕНИЙ

6.1. Допускаемое число циклов $[N^*]$ для заданной амплитуды переменных напряжений σ_a определяется по формуле

$$[N^*] = \frac{[N]}{\Pi_N};$$

допускаемая амплитуда переменных напряжений $[\sigma_a^*]$ для заданного числа циклов N определяется по формуле

$$[\sigma_a^*] = \frac{[\sigma_a]}{\Pi_\sigma}.$$

6.2. Допускаемая амплитуда переменных напряжений $[\sigma_a]$ для заданного числа циклов N или допускаемое число циклов $[N]$ для заданной амплитуды переменных напряжений σ_a определяется по кривым малоцикловой усталости, приведенным на графиках (черт. 1, 2, 3), для максимальной температуры цикла.

Расчетные кривые были откорректированы с целью учета максимального влияния среднего напряжения (асимметрии цикла). Поскольку при испытаниях, по результатам которых построены усталостные кривые, не учитывалось влияние коррозии при нарушениях водного режима и консервации котлов и трубопроводов, влияние этих факторов должно учитываться дополнительно.

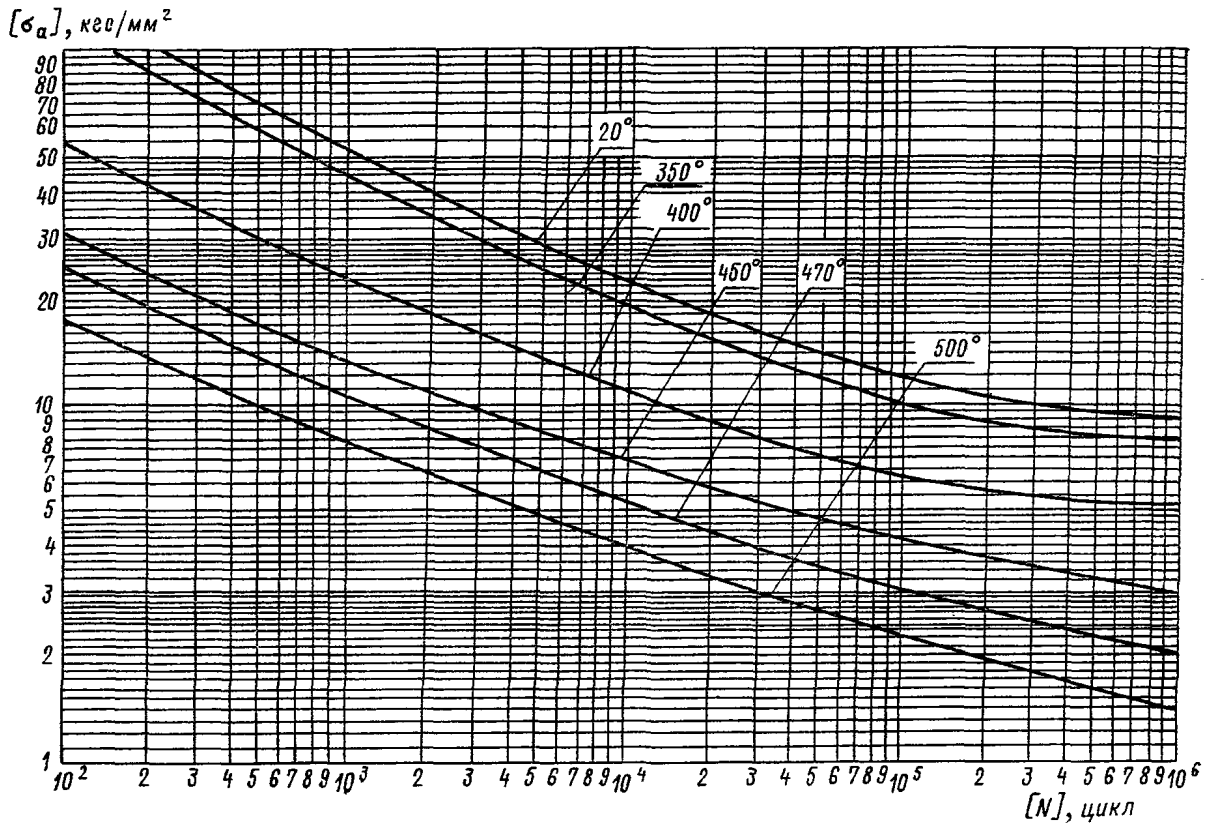
6.3. При температуре металла, отличающейся от приведенной на графиках черт. 1, 2, 3, допускаемое напряжение $[\sigma_a]$ или допускаемое число циклов $[N]$ определяется линейной интерполяцией. Экстраполяция кривых не допускается.

6.4. Значения коэффициентов Π_N и Π_σ , учитывающих повреждаемость, вызываемую ползучестью, вычисляются для углеродистых сталей при температурах, превышающих 400°C , а также для легированных сталей при температурах, превышающих 450°C , по следующим формулам:

$$\Pi_N = \frac{1}{D - \left(1,25 \frac{\sigma_c}{\sigma_{A.P.}^t}\right)^m};$$

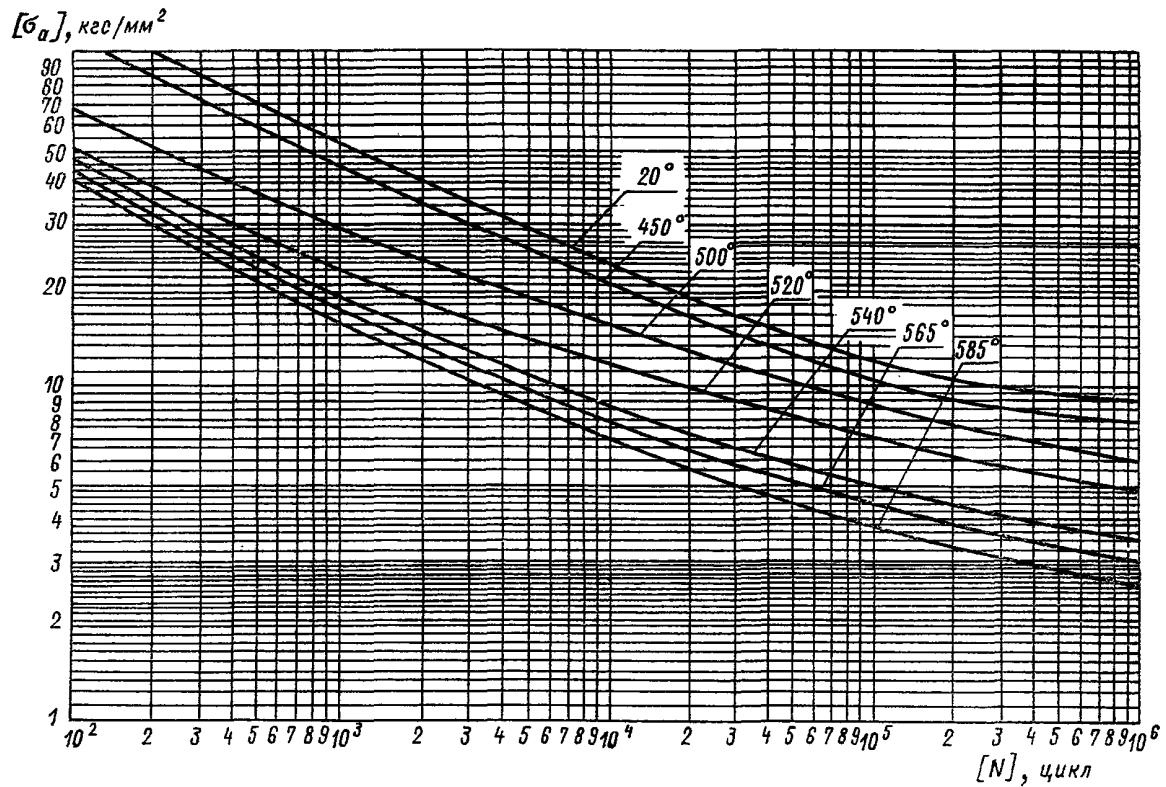
$$\Pi_\sigma = (\Pi_N)^{1/m}.$$

Расчетные кривые малоцикловой усталости углеродистых сталей



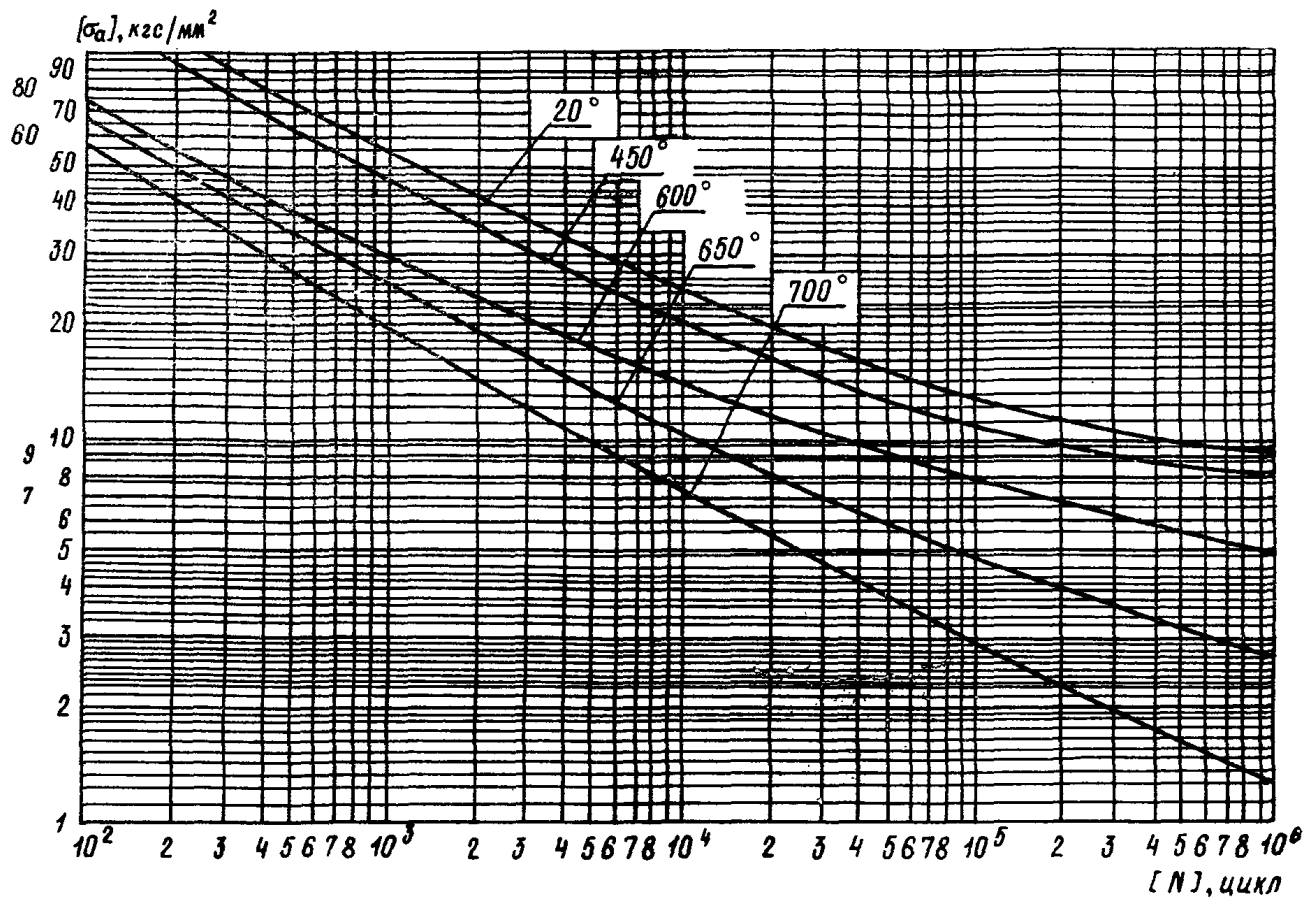
Черт. 1

Расчетные кривые малоцикловой усталости низколегированных хромомолибденванадиевых сталей



Черт. 2

Расчетные кривые малоцикловой усталости высоколегированных хромоникелевых сталей



Черт. 3

Значения параметра D приведены на графике черт. 4. Для температур, ниже указанных, $\Pi_N = \Pi_o = 1$. Рекомендуется принимать $\sigma'_{d,n} = 1,5 [\sigma]$.

Расчетное напряжение при ползучести σ_c представляет собой максимальное главное нормальное напряжение с учетом пластичности и ползучести материала. В случае отсутствия точного значения допускается принимать σ_c наибольшим из значений, вычисленных по формулам:

$$\sigma_c = k \sigma_s^B;$$

$$\sigma_c = k \sigma_s^{B, CK}.$$

При $\frac{\Delta \sigma_{s,IJ}}{1,5 ([\sigma]_{max} + [\sigma]_{min})} \leq 1$
для коллекторов $k = 1,20$; для гибов $k = 1,2$ при $s/D_h > 0,12$;
 $k = 1,25$ при $0,08 < s/D_h \leq 0,12$;
 $k = 1,35$ при $s/D_h \leq 0,08$.

При $\frac{\Delta \sigma_{s,IJ}}{1,5 ([\sigma]_{max} + [\sigma]_{min})} > 1$ для коллекторов $k = 1,30$; для гибов $k = 1,35$ при $s/D_h > 0,12$; $k = 1,40$ при $0,08 < s/D_h \leq 0,12$; $k = 1,5$ при $s/D_h \leq 0,08$.

Примечания:

1. При расчете $\sigma_s^{B, CK}$ по ОСТ 108.031.02—75 нагрузки Q^{CK} , M_x^{CK} принимаются с коэффициентом релаксации, определяемым в соответствии с РТМ 24.038.08—72 (см. черт. 1 указанного РТМ).

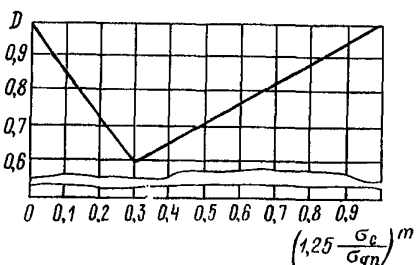
2. Для гибов внешних паро- и водоперепускных труб в пределах котла диаметром 76 мм и более рекомендуется дополнительная прибавка к расчетной толщине стенки: для давления 100 кгс/см² 3 мм, 140 кгс/см² 2 мм, что связано с различными режимными факторами, возникающими при пуске и останове.

6.5. Если $1,25 \frac{\sigma_c}{\sigma'_{d,n}} \geq 1$, то допускается не более 100 циклов пусков — остановов, если $\frac{\sigma_c}{\sigma'_{d,n}} \leq 0,5$, то $\Pi_N = \Pi_o = 1$ (повреждаемость от ползучести не учитывается).

6.6. Если в расчетной точке детали имеются сварные швы, то допускаемое число циклов уменьшается в два раза по сравнению с полученным по расчетным кривым малоцикловой усталости при отсутствии швов.

6.7. Если деталь подвергается циклам нагружения различного типа при неизменных значениях давления, температуры и внешних

Суммарная повреждаемость
как функция от повреждаемости,
вызываемой ползучестью



Черт. 4

нагрузок, то для оценки долговечности следует использовать формулу

$$\sum \frac{N_i}{[N]} + \left(1,25 \frac{\sigma_c}{\sigma_{d,n}^t}\right)^m \leq D.$$

Если в процессе работы номинальные значения давления, температуры и внешних нагрузок изменяются, то для оценки долговечности следует использовать формулу

$$\sum_{i=1}^n \frac{N_i}{[N]} + \frac{\sum_{l=1}^L \frac{\tau_l}{\tau} (\sigma_{ci})^m}{\sum_{l=1}^L \frac{\tau_l}{\tau} \left(\frac{\sigma_{d,n,l}^t}{1,25}\right)^m} \leq D.$$

6.8. Если заданное число циклов данного типа меньше 1000, то расчет производится на 1000 циклов.

6.9. Примеры расчета деталей котлов на малоцикловую усталость при наличии ползучести даны в справочном приложении.

ПРИЛОЖЕНИЕ
Справочное

ПРИМЕРЫ РАСЧЕТА

1. ПОВЕРОЧНЫЙ РАСЧЕТ ВЫХОДНОЙ КАМЕРЫ ПАРОПЕРЕГРЕВАТЕЛЯ

1.1. Рассчитать допустимое число пусков — остановов для выходной камеры пароперегревателя котла. Максимальная скорость прогрева 2 и $4^{\circ}\text{C}/\text{мин}$. Наружный диаметр камеры 426 мм, толщина стенки 90 мм, материал — сталь 15Х1М1Ф. Максимальная температура цикла 555°C , минимальная 250°C . Давление $255 \text{ кгс}/\text{см}^2$, коэффициент прочности $\varphi=0.8$. Предполагается, что коллектор не несет весовых и компенсационных нагрузок. Перепады температур по длине и периметру коллектора пренебрежимо малы.

1.2. В начале пуска напряжения от перепада температур по толщине стенки, вызванные прогревом, максимальны, а напряжения от внутреннего давления близки к нулю. При выходе на стационарный режим температурные напряжения падают до нуля, а напряжения от внутреннего давления достигают максимальных значений.

Предполагается, что при останове уровень напряжений ниже, чем при пуске. В этих условиях минимальная интенсивность достигается в начале разогрева, а максимальная — при выходе на стационарный режим.

1.3. Порядок расчета представлен в табл. 1.

1.4. При низких скоростях прогрева $v_t=2^{\circ}\text{C}/\text{мин}$ допустимое число циклов составляет 840, при $v_t=4^{\circ}\text{C}/\text{мин}$ возникает упруго-пластический цикл и допустимое число циклов резко падает до 135. Из примера видно, что в маневренном режиме данная конструкция плохо работает и следует принять меры конструктивного или режимного характера.

2. ПОВЕРОЧНЫЙ РАСЧЕТ ГИБА ПЕРЕПУСКНОЙ ТРУБЫ КОТЛА

2.1. Рассчитать допустимое число циклов пусков — остановов для гиба необогреваемого трубопровода в пределах котла с параметрами пара $155 \text{ кгс}/\text{см}^2$ и 500°C , материал — сталь 12Х1МФ. Наружный диаметр трубопровода 108 мм, толщина стенки 10 мм, овальность — не более 8 %. Внешний изгибающий момент от самокомпенсации температурных расширений $M=9,0 \cdot 10^5 \text{ кгс} \cdot \text{мм}$, расположена в плоскостигиба и сгибает колено.

2.2. На стационарном режиме гиб находится под действием внутреннего давления и изгибающего момента. При останове нагрузки существенно ниже. В соответствии с РТМ 24.038.08—72 (черт. 1) примем коэффициент, характеризующий релаксацию напряжений от самокомпенсации, равным 0,6, относительный радиус гиба $R/D=4$.

2.3. Порядок расчета представлен в табл. 2.

ПРИМЕР 1

Таблица 1

Искомая величина	Источник	Расчет
Напряжения при квазистационарном режиме на внутренней поверхности коллектора	РТМ 24.038.11—72	$\sigma_{\varphi t} = 0,167 \cdot 10^{-9} \varphi \frac{s^2 v_t}{a} \frac{2E}{1-\mu}, \text{ кгс/мм}^2$ <p>(черт. 3, 5, 6 и 7 РТМ 24.038.11—72)</p> <p>Имеем $\varphi = -0,43$, $a = 0,8 \cdot 10^{-5} \text{ м}^2/\text{с}$, $\alpha = 13,6 \cdot 10^{-6}$,</p> $E_{\min}^t = 2,07 \cdot 10^6 \text{ кгс/см}^2, \quad \frac{D_h}{D_b} = \frac{426}{246} = 1,73, \quad \sigma_{rt} = 0$
Минимальные эквивалентные напряжения при: $v_t = 2^\circ\text{C}/\text{мин}$	П. 4.3	$\sigma_{\vartheta 13 \min}^{250} = k_t \sigma_{\varphi t} - \sigma_{rt} = 2 \cdot 0,167 \cdot 10^{-9} (-0,43) \frac{902,2}{0,8 \cdot 10^{-5}} \times$ $\times \frac{13,6 \cdot 10^{-6} \cdot 2,07 \cdot 10^6}{1 - 0,3} = -12,1 \text{ кгс/мм}^2$
$v_t = 4^\circ\text{C}/\text{мин}$		$\sigma_{\vartheta 13 \min}^{250} = k_t \sigma_{\varphi t} - \sigma_{rt} = 2 \cdot 0,167 \cdot 10^{-9} (-0,43) \frac{902,4}{0,8 \cdot 10^{-5}} \times$ $\times \frac{13,6 \cdot 10^{-6} \cdot 2,07 \cdot 10^6}{1 - 0,3} = -24,2 \text{ кгс/мм}^2$
Максимальные эквивалентные напряжения		$\sigma_{\vartheta 13 \max}^{555} = k_p \sigma_{\varphi p} - \sigma_{rp} = 3 \frac{p}{100} \frac{\beta^2 + 1}{\beta^2 - 1} - \left(-\frac{p}{100} \right) =$ $= 3 \frac{255}{100} \frac{(1,73)^2 + 1}{(1,73)^2 - 1} + \frac{255}{100} = 17,9 \text{ кгс/мм}^2$

Продолжение табл. 1

Искомая величина	Источник	Расчет
Размах эквивалентных напряжений при: $v_t = 2^\circ\text{C}/\text{мин}$	П. 5.1	$\Delta \sigma_{9,13} = E^t \left(\frac{\sigma_{9,13 \max}^{555}}{E_{\max}^{555}} - \frac{\sigma_{9,13 \min}^{250}}{E_{\min}^{250}} \right) =$ $= 1,73 \cdot 10^4 \left(\frac{17,9}{1,73 \cdot 10^4} + \frac{12,1}{2,07 \cdot 10^4} \right) = 28 \text{ кгс/мм}^2$
$v_t = 4^\circ\text{C}/\text{мин}$		$\Delta \sigma_{9,13} = 1,73 \cdot 10^4 \left(\frac{17,9}{1,73 \cdot 10^4} + \frac{24,2}{2,07 \cdot 10^4} \right) = 38,6 \text{ кгс/мм}^2$
Расчетная амплитуда напряжений при: $v_t = 2^\circ\text{C}/\text{мин}$	П. 5.2 ОCT 108.031.02—75	$\begin{cases} \sigma_a = \frac{\Delta \sigma_{9,13}}{2}; \\ \sigma_a = \frac{\Delta \sigma_{9,13}}{2} \frac{\Delta \sigma_{9,13}}{1,5 ([\sigma]_{\max}^{555} + [\sigma]_{\min}^{250})}; \end{cases}$ $[\sigma]_{\max}^{555} = 6,75 \text{ кгс/мм}^2; \quad [\sigma]_{\min}^{250} = 18,6 \text{ кгс/мм}^2;$ $\frac{\Delta \sigma_{9,13}}{1,5 ([\sigma]_{\max}^{555} + [\sigma]_{\min}^{250})} = \frac{28}{1,5 (6,75 + 18,6)} = 0,74 < 1;$ $\sigma_a = \frac{\Delta \sigma_{9,13}}{2} = \frac{28}{2} = 14,0 \text{ кгс/мм}^2$

Продолжение табл. 1

Искомая величина	Источник	Расчет
Допускаемое число циклов по расчетным кривым малоцикловой усталости при $v_t = 2^\circ\text{C}/\text{мин}$	П. 6.2	$[N] = 2000$
Расчетная амплитуда напряжений при $v_t = 4^\circ\text{C}/\text{мин}$	П. 5.2	$\max \left\{ \begin{array}{l} \sigma_a = \frac{\Delta \sigma_{9,13}}{2} = \frac{38,6}{2} = 19,3; \\ \sigma_a = \frac{\Delta \sigma_{9,13}}{2} \frac{[\Delta \sigma_{9,13}]^{555}}{1,5 ([\sigma]_{\max}^{555} + [\sigma]_{\min}^{250})} = \frac{38,6}{2} \times \\ \times \frac{38,6}{1,5 (6,75 + 18,6)} = 20,5 \text{ кгс/мм}^2 \end{array} \right.$
Допускаемое число циклов по расчетным кривым малоцикловой усталости при $v_t = 4^\circ\text{C}/\text{мин}$	П. 6.2	$[N] = 650$

Продолжение табл. 1

Искомая величина	Источник	Расчет
Среднее окружное напряжение от внутреннего давления приnomинальном режиме	ОСТ 108.031.02—75, П. 9.3.1	$\sigma_{\varphi} = \frac{pD_B}{200s\varphi} = \frac{155(426 - 180)}{200 \cdot 90 \cdot 0,8} = 4,35 \text{ кгс/мм}^2$
Среднее радиальное напряжение от внутреннего давления	П. 9.3.3	$\sigma_r = -\frac{p}{200} = -\frac{255}{200} = -1,27 \text{ кгс/мм}^2$
Эквивалентное напряжение от внутреннего давления	П. 9.3.8	$\sigma_3 = \sigma_{\varphi} - \sigma_r = 4,35 - (-1,27) = 5,62 \text{ кгс/мм}^2$
Расчетное напряжение с учетом ползучести при: $v_t = 2^\circ\text{C}/\text{мин}$	П. 6.4	$\sigma_c = 1,20\sigma_3 = 1,2 \cdot 5,62 = 6,75 \text{ кгс/мм}^2$
$v_t = 4^\circ\text{C}/\text{мин}$		$\sigma_c = 1,3\sigma_3 = 1,3 \cdot 5,62 = 7,3 \text{ кгс/мм}^2$ $\left(\text{поскольку } \frac{\Delta\sigma_{9,13}}{1,5 \left([\sigma]_{\max}^t + [\sigma]_{\min}^t \right)} > 1 \text{ при } v_t = 4^\circ\text{C}/\text{мин} \right)$

Продолжение табл. 1

Искомая величина	Источник	Расчет
Повреждаемость, вызываемая ползучестью, при $v_t = 2^\circ\text{C}/\text{мин}$	П. 6.4, черт. 4	$\left(1,25 \frac{\sigma_c}{\sigma_{d.p.}}\right)^m = \left(1,25 \frac{6,75}{10,1}\right)^8 = 0,24;$ $m = 8; D = 0,66;$ $\Pi_N = \frac{1}{D - \left(1,25 \frac{\sigma_c}{\sigma_{d.p.}}\right)^m} = \frac{1}{0,66 - 0,24} = \frac{1}{0,42} = 2,38$
Допускаемое число циклов при $v_t = 2^\circ\text{C}/\text{мин}$	П. 6.1	$[N^*] = \frac{[N]}{\Pi_N} = \frac{2000}{2,38} = 840$
Повреждаемость, вызываемая ползучестью, при $v_t = 4^\circ\text{C}/\text{мин}$	П. 6.4, черт. 4	$\left(1,25 \frac{\sigma_c}{\sigma_{d.p.}}\right)^m = \left(1,25 \frac{7,3}{10,1}\right)^8 = 0,475;$ $m = 8; D = 0,68;$ $\Pi_N = \frac{1}{D - \left(1,25 \frac{\sigma_c}{\sigma_{d.p.}}\right)^8} = \frac{1}{0,68 - 0,475} = \frac{1}{0,205} = 4,9$
Допускаемое число циклов при $v_t = 4^\circ\text{C}/\text{мин}$	П. 6.1	$[N^*] = \frac{[N]}{\Pi_N} = \frac{650}{4,9} = 135$

2 ПРИМЕР 2

Задача 201

Таблица 2

Искомая величина	Источник	Расчет
Главные напряжения при стационарном режиме на внешней образующей гиба		$\sigma_{\varphi} = \sigma_{\varphi p} + \sigma_{\varphi a} + \sigma_{\varphi M} = 6,1 + 24,4 + 12,9 = 42,3 \text{ кгс/мм}^2;$ $\sigma_{\varphi p} = \frac{p}{100} \frac{2}{(D_h/D_b)^2 - 1} = \frac{155}{100} \frac{2}{(1,23)^2} = 6,1 \text{ кгс/мм}^2;$ $\frac{D_h}{D_b} = \frac{108}{88} = 1,23; \quad s/D_h = \frac{10}{108} = 0,0925;$ $\sigma_{\varphi a} = k_c \sigma_{\varphi p} = 4,0 \cdot 6,1 = 24,4 \text{ кгс/мм}^2;$
	П. 4.2	
PTM 24.038.08—72		$\sigma_{\varphi M} = \gamma \frac{M}{w} = 1,0 \frac{9,0 \cdot 10^5}{0,7 \cdot 10^5} = 12,9 \text{ кгс/мм}^2$
		$\sigma_z = \sigma_{zp} + \sigma_{za} + \sigma_{zM} = 3,05 + 7,3 + 12,9 = 23,3 \text{ кгс/мм}^2;$ $\sigma_{zp} = \frac{p}{100} \frac{1}{(D_h/D_b)^2 - 1} = \frac{155}{100} \frac{1}{(1,23)^2 - 1} = 3,05 \text{ кгс/мм}^2;$ $\sigma_{za} = \mu \sigma_{\varphi a} = 0,3 \cdot 24,4 = 7,3 \text{ кгс/мм}^2;$
PTM 24.038.08—72		$\sigma_{zM} = \beta \frac{M}{w} = 1,0 \frac{9,0 \cdot 10^5}{0,7 \cdot 10^5} = 12,9 \text{ кгс/мм}^2$ при $R/D = 4$ и $\lambda = 4 \frac{R}{D} \frac{s}{D} = 4 \frac{108}{108} \frac{10}{108} = 1,48 > 1$ $\gamma = \beta = 1 \quad (\text{PTM 24.038.08—72})$

Продолжение табл. 2

Стр. 18 РДМ 108031.105-77

Искомая величина	Источник	Расчет
Максимальные эквивалентные напряжения	П. 4.3	$\sigma_{\vartheta 13}^{500} = \sigma_\varphi - \sigma_r = 42,3 - 0 = 42,3 \text{ кгс/мм}^2;$ $\sigma_{\vartheta 23}^{500} = \sigma_z - \sigma_r = 23,3 - 0 = 23,3 \text{ кгс/мм}^2;$ $\sigma_{\vartheta 12}^{500} = \sigma_\varphi - \sigma_z = 42,3 - 23,3 = 19,0 \text{ кгс/мм}^2;$ Максимальное значение $\sigma_{\vartheta 13 \max}^{500} = 42,3 \text{ кгс/мм}^2$
Минимальные эквивалентные напряжения	П. 4.3	$\sigma_{\vartheta 13 \min}^{20} = \sigma_{\vartheta 23 \min}^{20} = \sigma_{\vartheta 12 \min}^{20} = 0$
Размах эквивалентных напряжений	П. 5.1	$\Delta \sigma_{\vartheta 13} = E^t \left(\frac{\sigma_{\vartheta 13 \max}^{500}}{E_{\max}^{500}} - \frac{\sigma_{\vartheta 13 \min}^{20}}{E_{\min}^{20}} \right) = 42,3 - 0 = 42,3 \text{ кгс/м}^2$
Расчетная амплитуда напряжений	П. 5.2	$\sigma_a = \frac{\Delta \sigma_{\vartheta 13}}{2} = \frac{42,3}{2} = 21,15;$ $\max \left\{ \sigma_a = \frac{\Delta \sigma_{\vartheta 13}}{2} \frac{\Delta \sigma_{\vartheta 13}}{1,5 ([\sigma]_{\max}^{500} + [\sigma]_{\min}^{20})} = \right.$ $= \frac{42,3}{2} \frac{42,3}{1,5 (11,3 + 17,3)} = 21,0;$

Продолжение табл. 2

Искомая величина	Источник	Расчет
Расчетная амплитуда напряжений	П. 5.2	$[\sigma]_{\max}^{500} = 11,3 \text{ кгс/мм}^2, [\sigma]_{\min}^{20} = 17,3 \text{ кгс/мм}^2$ (ОСТ 108.031.02—75). Принимаем $\sigma_a = 21,2 \text{ кгс/мм}^2$
Допускаемое число циклов по расчетным кривым малоцикловой усталости	П. 6.2, черт.	$[N] = 3000$
Среднее окружное напряжение от внутреннего давления	ОСТ 108.031.02—75, П. 9.3.1	$\sigma_\varphi = \frac{pD_b}{200s} = \frac{155 \cdot 88}{200 \cdot 10} = 6,85 \text{ кгс/мм}^2$
Среднее радиальное напряжение от внутреннего давления	П. 9.3.3	$\sigma_r = -\frac{p}{200} = -\frac{155}{200} \cong -0,8 \text{ кгс/мм}^2$
Эквивалентное напряжение от внутреннего давления	П. 9.3.8	$\sigma_e^B = \sigma_\varphi - \sigma_r = 6,85 - (-0,8) = 7,65 \text{ кгс/мм}^2$
Среднее осевое напряжение от внутреннего давления	П. 9.3.2	$\sigma_{zp} = \frac{p(D_b)^2}{400(D_b + s)s} = \frac{155(88)^2}{40(88 + 10) \cdot 10} = 3,05 \text{ кгс/мм}^2$
Среднее осевое напряжение от изгибающего момента, вызванного самокомпенсацией температурных расширений	П. 9.3.2	$\sigma_{zM} = \frac{M}{w} = \frac{9,0 \cdot 10^5}{0,7 \cdot 10^5} 12,9 \text{ кгс/мм}^2$

Продолжение табл. 2

Стр. 20 РТМ 108.031.105-77

Искомая величина	Источник	Расчет
Эквивалентное напряжение от внутреннего давления и самокомпенсации температурных расширений	П. 9.3.8, РТМ 24.038.08-72	$\sigma_9^{B, CK} = \sigma_z - \sigma_r = 3,05 + 0,8 \cdot 0,6 \cdot 12,9 - (-0,8) = 10,1 \text{ кгс/мм}^2$ $s/D_H = 0,0925; k = 1,25$
Расчетное напряжение с учетом ползучести	П. 6.4	$\max \begin{cases} \sigma_c = k\sigma_9^B = 1,25 \cdot 7,6 = 9,5 \text{ кгс/мм}^2; \\ \sigma_c = k\sigma_9^{B, CK} = 1,25 \cdot 10,1 = 12,6 \text{ кгс/мм}^2; \end{cases}$ $k = 1,25 \text{ так как } \frac{\Delta\sigma_{9,13}}{1,5 ([\sigma]_{\max}^t + [\sigma]_{\min}^t)} < 1.$ Принимаем для дальнейших расчетов большее значение: $\sigma_c = 12,6 \text{ кгс/мм}^2$
Повреждаемость, вызываемая ползучестью	П. 6.4	$\left(1,25 \frac{\sigma_c}{\sigma_{d,p}}\right)^m = \left(1,25 \frac{12,6}{1,5 \cdot 11,3}\right)^8 = 0,61;$ $D = 0,77, m = 8;$ $P_N = \frac{1}{D - \left(1,25 \frac{\sigma_c}{\sigma_{d,p}}\right)^m} = \frac{1}{0,77 - 0,61} = 6,25$
Допускаемое число циклов	П. 6.1	$[N^*] = \frac{1}{P_N} = \frac{3000}{6,25} = 480$

СОДЕРЖАНИЕ

	Стр.
1. Условные обозначения	1
2. Основные положения	2
3. Переменные нагрузки	3
4. Переменные напряжения	3
5. Размах и амплитуда переменных напряжений	4
6. Допускаемая амплитуда переменных напряжений	5
Приложение. Примеры расчета	11

Редактор *Н. М. Чернецова.*

Техн. ред. *Н. П. Белянина.*

Корректор *С. М. Косенкова.*

Сдано в набор 27.02.78. Подписано к печ. 12.04.78. Формат бум. 60×90¹/₁₆.
Объем 1¹/₄ печ. л. Тираж 400 Заказ 201. Цена 25 коп.

Редакционно-издательский отдел НПО ЦКТИ им. И. И. Ползунова.
194021, Ленинград, Политехническая ул., 24.

ГРУППА Е21

ИЗМЕНЕНИЕ № 1

РТМ 108.031.105-77

"Котлы стационарные паровые и водогрейные и трубопроводы пара и горячей воды. Метод оценки долговечности при малоцикловой усталости и ползучести".

Указанием Министерства энергетического машиностроения
от 13.12.84. № СЧ-002/9334 орок введения установлен
с 01.10.85

Раздел I. Абзац "П₆, П_N - коэффициенты,...." - исключить.

Пункт 4.2. Второй абзац, начиная со слов "Для гибов, коэффициент концентрации...." заменить предложением:
"Составляющие главных нормальных напряжений для гибов рекомендуется определять в соответствии с РТМ 108.031.112-80".

Пункт 6.1 изложить в новой редакции:

"6.1. Для оценки допускаемой амплитуды переменных напряжений / б_a * / при заданном числе циклов N или допускаемого числа циклов / N' / при заданной амплитуде напряжений б_a используется принцип суммирования повреждений от усталости и ползучести в виде

$$\frac{N}{[N]} + \left(1,25 \frac{\bar{b}_c}{\bar{b}_{g,n}^t} \right)^n \leq 0$$

Значения предела длительной прочности следует принимать в соответствии с действующей нормативно-технической документацией на материалы.

Допускается принимать для диапазона температур, обуславливающих учет ползучести в соответствии с ОСТ 108.031.02-75

$$\bar{b}_{g,n}^t = 1,5 [6]$$

Для сталей I2XMF, I5XM и I2MX формулу $\sigma_{\text{пр}}^b = 1,5[\delta]$ для определения предела длительной прочности рекомендуется использовать при температурах не ниже 485°С."

Пункт 6.2 дополнить:

"Кривые малоциклической усталости с учетом влияния коррозии для гибов трубопроводов котлов приведены в ПТМ 108.031.112-80".

Пункт 6.4 изложить в новой редакции:

"6.4. Расчетное напряжение при ползучести σ_c представляет собой максимальное главное нормальное напряжение, определенное с учетом пластичности и ползучести материала. Расчет σ_c для колен трубопроводов рекомендуется производить в соответствии с ПТМ 108.031.112-80.

Для камер пароперегревателей допускается принимать σ_c наибольшим из значений, вычисленных по формулам:

$$\sigma_c = K \cdot \sigma_s^b ;$$

$$\sigma_c = K \cdot \sigma_s^{b,ck} ,$$

где $K = 1,4$ при

$$\frac{\Delta \sigma_{\text{эл}}}{1,5 \cdot (\sigma_{\text{max}} + \sigma_{\text{min}})} \leq 1 ;$$

$K = 1,5$ при

$$\frac{\Delta \sigma_{\text{эл}}}{1,5 \cdot (\sigma_{\text{max}} + \sigma_{\text{min}})} > 1 .$$

Значения σ_s^b и $\sigma_s^{b,ck}$ следует определять, принимая значение коэффициента ослабления отверстиями $\varphi = 1$.

Пункт 6.5 изложить в новой редакции:

"6.5. Если $I,25 \cdot \frac{b_e}{b_t} \geq 1$, то допускается не более 100 циклов пуск-останов, если $\frac{b_e}{b_t} \leq 0,5$, то повреждаемость от износа не учитывается".